



کانی شناسی، ژئوشیمی و منشأ سنگ‌های آتشفسانی شمال شرق شهرستان بافت (جنوب کرمان): شاهدی بر ماقماطیسم کمانی در جنوب کمربند ماقمایی ارومیه - دختر

محسن چکنی مقدم^{*}، زهرا طهماسبی، احمد احمدی خلجمی

گروه زمین شناسی، دانشکده علوم، دانشگاه لرستان، خرم‌آباد

(دریافت مقاله: ۹۴/۱۰/۲۶، نسخه نهایی: ۹۵/۳/۲۲)

چکیده: در بخش شمال تا شمال شرق شهرستان بافت، در جنوب کرمان، رخنمون‌های متعددی از سنگ‌های آتشفسانی بهصورت گستردۀ وجود دارند که از نظر زمین‌شناسی در بخش شرقی نوار دهچ - ساردوئیه که خود بخشی از جزایر قوسی ارومیه-دختر است قرار گرفته‌اند. بیشتر دنباله‌های آتشفسانی شامل آندزیت، آندزیت بازالت، داسیت و به مقدار اندک بازالت و ریولیت به سن ائوسن هستند که همراه با سنگ‌های آذرآواری و پیروکلاستیک شامل گذازه‌ها و روانه‌های ایگنیمیریتی قرار گرفته‌اند. کانی‌های اصلی آن‌ها شامل پلازیوکلаз، هورنبلند، بیوتیت و پیروکسن هستند و از جمله بافت‌های مهم در این واحدهای آتشفسانی می‌توان به انواع هیالوپورفیری میکرولیتیک، پورفیری و جریانی اشاره کرد. درشت بلورهای پلازیوکلاز در این سنگ‌ها بافت‌های غیرتعادلی چون منطقه-بندی نوسانی و بافت غربالی را نشان می‌دهند. بررسی‌های ژئوشیمیایی حاکی از این است که سنگ‌های منطقه در قلمرو آهکی قلیایی رده‌بندی می‌شوند. بر اساس اطلاعات بهدست آمده از نتایج آنالیزها، این سنگ‌ها از نظر LREE نسبت به HREE غنی‌شدگی از خود نشان می‌دهند و نیز بالا بودن مقدار عنصر ناسازگار LILE نسبت به HFSE و مشاهده‌ی هنجاری منفی در عناصری مثل Ti، Nb و P در گذازه‌ها، حاکی از یک محیط زمین‌ساختی فرورانشی است و مبنی آن است که ماقمایی مادر تشکیل دهنده احتمالاً از ذوب بخشی گوه گوشه‌ای که خود در تماس با جریان‌های مشتق شده از پوسته‌ی اقیانوسی فرورونده بوده و از عناصر کمیاب سبک (LREE) غنی شده، ریشه گرفته است.

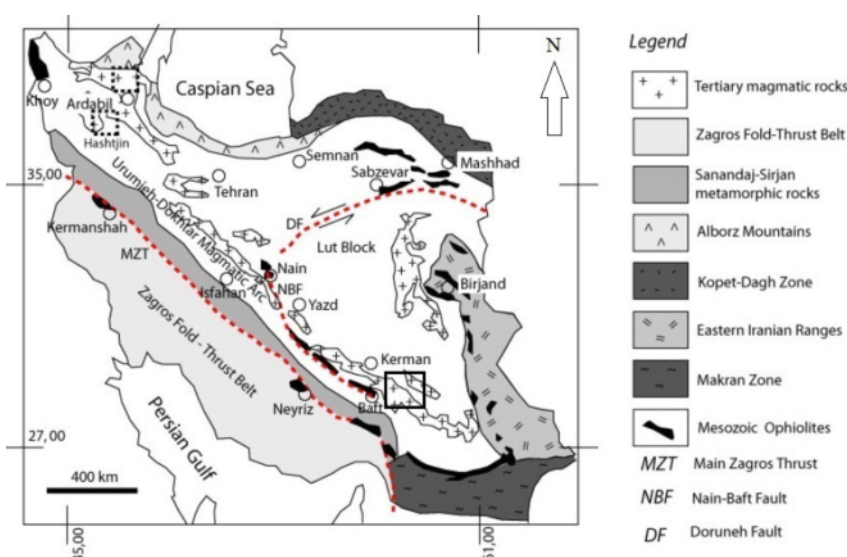
واژه‌های کلیدی: بافت پورفیری؛ دنباله‌ی آندزیتی؛ غنی‌شدگی LREE؛ قوس آتشفسانی؛ جنوب کرمان؛ کمربند/رومیه-دختر.

مقدمه
نظر می‌رسد. منطقه‌ی مورد نظر در جنوب کرمان قرار گرفته و گستره‌ای به طول چندین کیلومتر را پوشش داده است و بخشی از کمربند ماقمایی ارومیه دختر است [۲] که در استان کرمان با عنوان دهچ - ساردوئیه نامیده می‌شود و سن سنگ‌های آذرین آنها را منطبق بر شواهد چینه شناسی و روابط صحرایی بهطور کلی ائوسن و پسا ائوسن می‌دانند [۳] (شکل ۱). این منطقه از نظر مختصات جغرافیایی بین طول‌های 45° تا 56° و 29° تا 57° درجه شرقی و عرض‌های 15° تا 29° درجه شمالی واقع شده است (شکل ۲). از جمله اولین بررسی‌های سازمانی و اولیه در این منطقه را می‌توان به

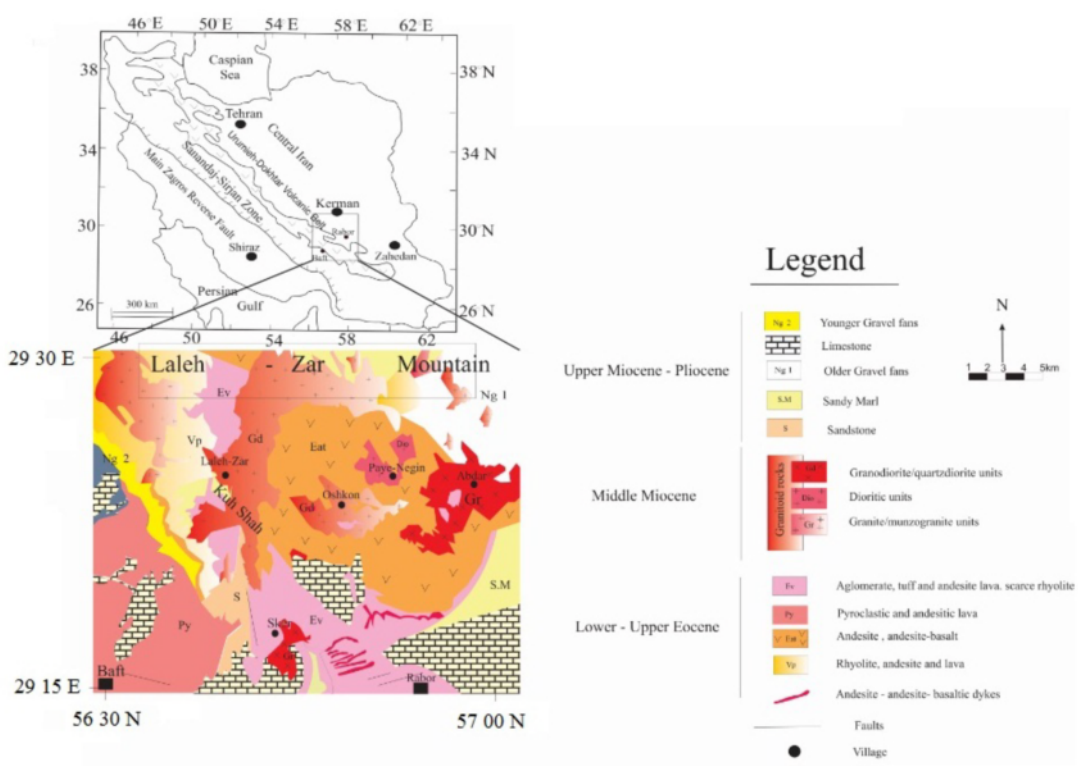
بدون شک چشمگیرترین فعالیت‌های آتشفسانی سرزمین ایران در زمان ائوسن به رخ داده است و آثار آن را می‌توان در تمام نقاط این سرزمین جز کپه داغ و زاگرس مشاهده کرد [۱]. سنگ‌های آتشفسانی ائوسن دارای تنوع ترکیبی زیادی از اسیدی تا بازی بوده و اغلب به سری آهکی-قلیایی تعلق دارند. در این میان به سنگ‌های آتشفسانی منطقه‌های البرز و ارومیه-دختر بیشتر توجه شده است و هر چند منطقه‌ی مورد بررسی به این نواحی تعلق دارد ولی بررسی‌های دقیقی نیز تاکنون روی آنها صورت نگرفته است لذا بررسی دقیق آن ضروری به

عظیمی از توده‌های نفوذی جوانتر قطع شده‌اند (شکل ۲). در این پژوهش سعی بر آن است که ضمن بررسی سرنشی‌های میکروسکوپی و صحرایی سنگ‌ها، خصوصیات ژئوشیمیایی آنها نیز مورد بررسی قرار گیرد و جایگاه زمین‌شناسی آنها نیز مورد بحث و بررسی شود.

کارهای نقشه برداران یوگسلاوی [۴] در جهت تهیه نقشه‌ی زمین‌شناسی استان کرمان و از نظر بررسی‌های سنگ‌شناسی انجام شده به بررسی‌های [۵، ۶] اشاره کرد که به بررسی سنگ‌های آتشفشاری جنوب غرب بردسیر و جنوب شرق آن پرداخته‌اند و طیف گسترده‌ای از سنگ‌های آتشفشاری منطقه را مورد بررسی قرار داده‌اند. این واحدهای آتشفشاری با حجم



شکل ۱ موقعیت منطقه‌ی مورد نظر روی نقشه‌ی تفکیک کننده منطقه‌های ساختاری ایران (اقتباس از [۷]).



شکل ۲ تصویر نشان دهنده گستره‌ی مورد بررسی روی نقشه‌ی زمین‌شناسی ۱:۱۰۰۰۰ بافت [۸].

ACME Lab سالم برای تجزیه شیمی سنگ کل به آزمایشگاه کانادا ارسال شدند. تجزیه‌های شیمیایی عناصر اصلی به روش ICP-AES و برای عناصر نادر و فرعی به روش ICP-MS انجام گرفته است (جدول ۱).

روش بررسی

برای رسیدن به اهداف این بررسی، پس از بازدیدهای میدانی و نمونه برداشی‌های مختلف، ۱۰۰ مقطع نازک از سنگ‌های آتشفشنانی متنوع منطقه تهیه شدند. در این میان نمونه‌های دگرسان شده و نادگرسان از هم تفکیک شده و تعداد ۱۰ نمونه

جدول ۱ نتایج آنالیزهای شیمیایی انجام شده به روش ICP-MS از سنگ‌های آتشفشنانی منطقه شمال شرق بافت.

شماره نمونه	AB58	AB62	AB141	AB149	ES20	ES49	ES76	DE1	DE2	AB 18
نام سنگ	آندزیت	آندزیت	داسست	داسست	بازالت	آندزیت	آندزیت بازالت	آندزیت بازالت	آندزیت بازالت	آندزیت
SiO ₂ (wt%)	61.5	60.9	67.11	66.76	48.22	57.81	54.24	55.84	55.92	56.51
TiO ₂	0.56	0.61	0.4	0.41	0.77	0.63	0.66	0.76	0.68	0.56
Al ₂ O ₃	17.74	17.48	16.16	16.36	16.87	18.51	18.37	18.05	18.18	18.17
Fe ₂ O ₃	5.09	5.23	2.88	2.96	10.24	8.22	7.92	7.28	6.08	7.47
MgO	21.0	22.0	1.08	1.06	4.58	3.39	1.96	2.48	2.51	3.92
CaO	5.65	5.60	3.82	3.96	1.031	7.71	6.46	7.06	7.37	6.41
MnO	0.18	0.18	0.14	0.14	0.16	0.15	0.16	0.12	0.18	0.14
Na ₂ O	3.87	3.83	4.31	4.32	2.21	3.25	4.21	3.08	3.07	3.24
K ₂ O	2.42	2.39	1.94	1.88	3.16	0.76	1.24	1.74	1.73	2.44
P ₂ O ₅	0.14	0.13	0.15	0.14	0.08	0.12	0.12	0.13	0.13	0.10
Al ₂ O ₃ Fe ₂ O ₃	3.54	2.28	5.61	5.52	1.65	2.25	2.32	2.48	3.30	2.44
Sc	1.0	1.1	4	4	1.6	1.7	2.0	1.9	2.1	1.9
L.O.I	1.2	1.6	1.5	1.4	1.6	2.2	1	2.3	2.2	2.0
Total	99.81	99.82	89.99	99.74	99.88	99.76	99.76	99.80	99.81	99.83
Ba (ppm)	78.4	39.2	511	522	146	350	63	30.3	314	171
Co	13.8	16	57	73	20.8	13	33	20.3	20	19
Cs	4	3.9	4.1	4.2	2.5	12.2	1	2.7	2.8	1.12
Hf	2.6	2.6	2.9	2.8	1.7	5.5	1	2.9	2.2	1.8
Nb	4.20	4.8	3.7	4	1.5	6	0.5	2.6	2.5	2.21
Rb	48.50	52.4	57.2	58	22.1	14.7	0.4	50	49.5	36.51
Sr	60.2	59.1	57.5	57.3	45	29.7	48.6	42.4	42.5	40.25
Ta	0.20	0.2	0.3	0.4	0.1	0.1	0.05	0.2	0.2	0.20
Th	6	6.5	4.2	4.6	1.4	12.80	0.4	52.0	51.0	2.6
U	1.60	1.61	1.5	1.3	0.5	3.2	0.1	0.8	0.8	0.60
V	11.4	11.8	66	68	18.0	10.8	25.7	19.4	16.5	17.0
Zr	9.5	9.2	10.67	10.58	63	18.8	28.60	11.6	11.3	67.13
Y	8.20	8.4	4.4	5	16	22.50	12.50	20	20	13.00
La	19.20	19.41	18.7	18.7	7.20	20	3.70	13	13.7	10.43
Ce	30.21	34	33.7	34	15.10	40.90	7.60	26	26.80	17.9
Pr	3.74	2.94	3.96	2.91	2.00	4.90	1.14	2.37	3.54	2.34
Nd	12.71	14.5	14.9	15	9.08	19.71	5.6	14	15	9.0
Sm	2.44	2.56	2.47	2.26	22.2	4.16	1.72	3.19	3.36	1.81
Eu	0.71	0.75	0.85	0.83	0.83	0.92	0.68	0.94	0.88	0.66
Gd	19.0	21.8	1.63	1.57	2.87	4.29	2.03	3.55	3.78	2.11
Tb	0.28	0.3	0.18	0.19	0.45	0.21	0.28	0.6	0.64	0.25
Dy	1.18	1.62	0.86	0.85	2.87	4.23	2.25	3.23	3.60	2.7
Ho	0.48	0.74	0.66	0.76	0.65	0.71	0.48	0.68	0.76	0.42
Er	0.74	0.82	0.34	0.38	1.35	2.25	1.70	2.30	2.05	1.15
Tm	0.11	0.11	0.040	0.05	0.21	0.33	0.28	0.34	0.31	0.18
Yb	0.66	0.76	0.34	0.25	1.74	2.22	1.33	1.88	2.22	1.34
Lu	0.11	0.11	0.04	0.04	0.26	0.36	0.2	0.31	0.36	0.22
Nb/Y	0.51	0.57	0.84	0.8	0.09	0.27	0.04	0.18	0.17	0.17
Nb/U	2.63	2.98	2.47	2.07	3	1.88	5	4.5	4.4	3.85
Nb/Th	0.7	0.74	0.88	0.87	1.2	0.45	0.8	0.69	0.68	0.88
Th/La	0.21	0.33	0.22	0.25	0.19	0.64	0.1	0.4	0.37	0.25
Ba/Nb	8.2	9.1	13.0	13.8	9.7	5.9	12.6	7.5	7.8	7.4
La/Sm	7.86	7.57	7.57	8.27	1.17	4.8	2.16	4.07	4.07	5.8
Zr/Y	11.58	10.95	24	21	3.93	8.54	2.38	5.8	5.65	5.17
Zr/Nb	22.7	19.1	28.6	26.25	42	31.3	57.2	32.2	32.2	29.1
Ce/Yb	45	44	99	136	9	18	6	14	12	15
La/Yb	29	25.5	55	75.5	5	8	3	7	6.17	8
Eu/Eu*	0.97	0.99	0.99	1.02	1.12	1.2	1.00	0.85	0.75	1.03

کهنسنگ‌های پلازیوکلاز وجود دارند (شکل ۳ ب). پیروکسن‌ها با توجه به زاویه‌ی خاموشی از نوع اوژیت تشخیص داده شده‌اند و گاهی در اثر گرماب‌ها به کانی‌های تیره مثل اکسیدهای آهن تبدیل شده‌اند.

آنذیت بازالت‌ها

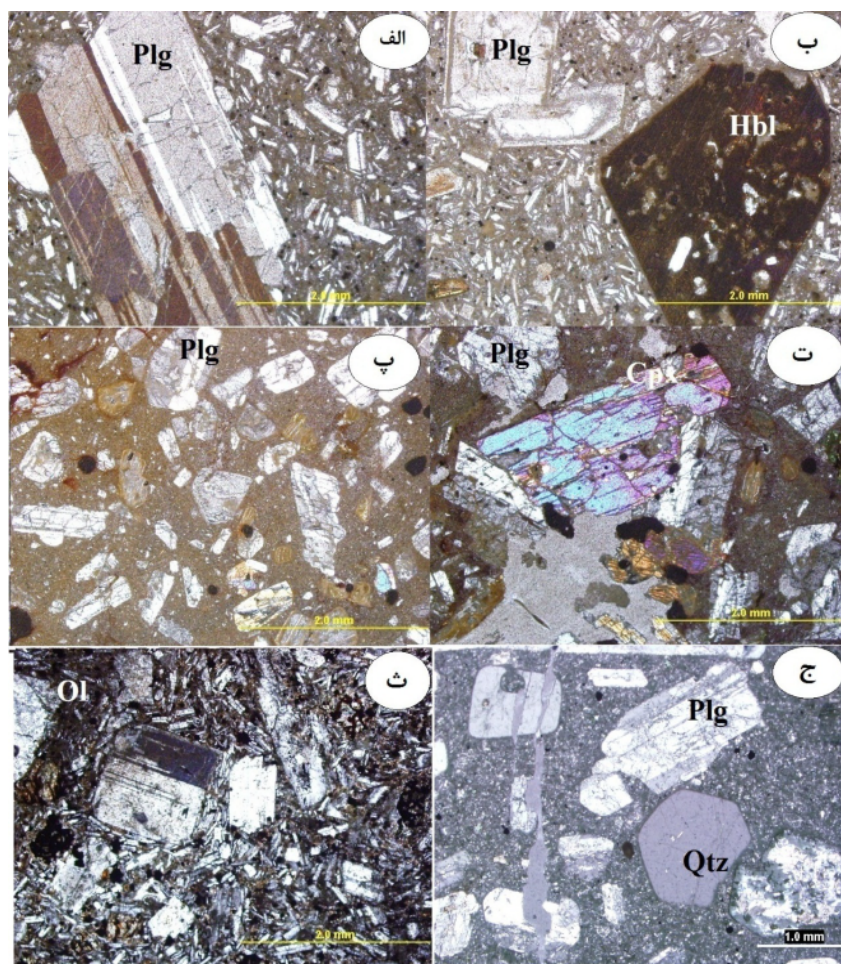
این نوع سنگ‌ها که بیشتر به صورت دایک در یک منطقه‌ی کوچک در منطقه رخنمون یافته‌اند که در نمونه‌ی دستی به رنگ قهوه‌ای مایل به سیاه دیده می‌شوند و بافت آنها پورفیری و جریانی است. در مقطع میکروسکوپی این سنگ‌ها می‌توان کانی‌های پلازیوکلاز، پیروکسن و هورنبلند و کانی‌های فرعی و ثانویه مثل کانی‌های تیره، اپیدوت و کلریت را مشاهده کرد. پلازیوکلاز در این قبیل سنگ‌ها بصورت انواع شکل‌دار و نیمه‌شکل‌دار قابل تشخیص‌اند (شکل ۳ پ). این کانی در این دایک‌ها دارای رد پلی‌سنتیک و بافت غربالی است و در برخی موارد به خوبی تجزیه آن به سریسیت مشاهده می‌شود. پیروکسن نیز از دیگر کانی‌های مهم این قبیل سنگ مشاهده می‌شود. پیروکسن به صورت درشت‌دانه در متن سنگ مشاهده می‌شوند. پیروکسن با درصد حجمی تقریبی تا ۱۰ درصد بصورت شکل‌دار و نیمه‌شکل‌دار از نوع کلینوپیروکسن است و در اندازه‌هایی در حدود ۲ میلی‌متر دیده می‌شوند. پیروکسن‌ها در برخی مقاطع دگرسان و تبدیل به کانی‌های اپیدوت، کلریت و کانی‌های تیره شده‌اند (شکل ۳ ت). هورنبلند با حجم تقریبی تا ۱۰ درصد نیز از دیگر کانی‌های مهم شناسایی شده در این سنگ‌هاست. در برخی از مناطق بلورهای سوزنی یا میله شکل هورنبلند به راحتی قابل تشخیص‌اند. این کانی در برخی از مقاطع آثاری از دگرسانی به کانی‌های ثانویه را از خود نشان می‌دهد. کانی‌های کدر با فراوانی تا ۵ درصد حجمی فراوانترین و مهم‌ترین کانی که نشانگر عدم تعادل شیمیایی بین بلورها و گدازه است [۱۱]. منطقه‌ی بندی در این کانی‌ها به برقرار نبودن تعادل کامل در خلال تبلور وابسته است که این فرایند عدم تعادل به خوبی در کانی پلازیوکلاز به ثبت می‌رسد [۱۱]. از طرفی وجود منطقه‌ی بندی در بلورها را می‌توان نشانه‌ای از اختلاط ماقماهایی دانست که ترکیب متفاوت دارند [۱۲، ۱۳].

وبیزگی‌های سنگ‌شناسی واحدهای منطقه

منطقه‌ی مورد بررسی را سنگ‌های آتشفسانی، مواد آذرآواری و توده‌های نفوذی نیمه عمیق تشکیل داده‌اند. چینه‌شناسی منطقه مورد بررسی از قدیم به جدید شامل جریان‌های گدازه‌ی آندزیتی، آندزیت بازالت و پیروکلاستیک‌ها می‌شوند که به ترتیب از اوسن‌زیرین تا فوکانی سن آن‌ها تعیین شده‌اند [۹] و در بخش شمال و غرب منطقه به فراوانی گسترش یافته‌اند. توده‌های متعدد نفوذی از جنس گرانودیبوریت، کوارتزدیبوریت و مونزوگرانیت به همراه دیوریت‌ها نیز رخنمون دارند که برای آن‌ها سن میوسن و الیگوسن را در نظر گرفته‌اند [۱۰] و همه‌ی آنها قطع کننده‌ی واحدهای آتشفسانی هستند. از واحدهای اصلی آتشفسانی شامل آندزیت، آندزیت- بازالت، داسیت و به مقدار کمتر بازالت و ریولیت تشکیل شده‌اند و مجموعه‌های رسوبی با گسترش زیاد شامل ماسه‌سنگ‌ها و کنگلومرا این واحدهای آتشفسانی را پوشانده‌اند.

آنذیت‌ها

آنذیت‌ها فراوان‌ترین خانواده از سنگ‌های آتشفسانی منطقه بوده و به صورت مزوکرات دیده می‌شوند و رنگ‌های خاکستری و سبز روش مشاهده می‌شوند. بافت غالب در آن‌ها پورفیری با خمیره ریزدانه تا شیشه‌ای بوده و برخی از آن‌ها بافت‌های جریانی را از خود دارند. آندزیت‌ها حاوی بلورهای درشت پلازیوکلاز با طول حداقل ۲ میلی‌متر هستند. پلازیوکلازاً فراوانی بالایی داشته و به رنگ‌های سفید شکل‌دار و نیمه‌شکل‌دار با منطقه‌بندی نوسانی مشاهده می‌شوند و بافت پورفیری را در این سنگ‌ها شکل‌داده‌اند (شکل ۳ الف). درشت بلورهای نیمه‌شکل‌دار و شکل‌دار هورنبلند سبز همراه با پیروکسن‌ها از فراوان‌ترین کانی‌های فرومیزین در این واحدهای هستند. هورنبلندها در حدود ۱۰ درصد حجمی آندزیت‌ها را تشکیل می‌دهند و آثار تحلیل یافتنگی و سوختگی هم نیز در آنها مشاهده می‌شوند (شکل ۳ ب). این حالت سوختگی به دلیل غلبه اکسیژن و حالت اکسایش است که به دلیل عدم تعادل این کانی در محیط‌های آبدار و با دمای بالاست که به این حالت اصطلاحاً سوختگی آمفیبول اطلاق شده است [۱۱]. خمیره‌ی ریز دانه، بیشتر از میکرولیت‌های پلازیوکلاز در آندزیت‌ها و در تراکی آندزیت‌ها از پلازیوکلاز و فلدسپات پتابسیم تشکیل یافته است. پیروکسن‌ها در نمونه‌های سنگی با رنگ تیره خود دیده می‌شوند و فراوانی کمتری نسبت به پلازیوکلازها دارند. در برخی از پیروکسن‌ها نفوذی‌هایی از



شکل ۳ تصاویر مختلف از مقاطع نازک سنگ‌های آتشفشنانی نشانگر بافت تراکیتی در سنگ‌های تراکی‌آنذیتی منطقه که در آن فنوکریست پلازیوکلаз کاملاً مشهود است (الف)، ب) تصویری از یک درشت بلور هورنبلندر در یک آندزیت که در مرکز آن بلورهای ریز پلازیوکلاز به صورت نفوذی مشاهده می‌شوند (XPL)، پ) تصویری از یک مقطع آندزیت-بازالتی که در آن کلینوبیروکسن و پلازیوکلاز مشخص شده است (XPL)، ت) تصویری از یک مقطع آندزیت-بازالتی که در آن بلورهای پلازیوکلاز و پیروکسن دیده می‌شوند (XPL)، ث) تصویر یک مقطع بازالتی و تجزیه الیوین به ایدنگسیت که در بالای تصویر سمت چپ قرار گرفته است (XPL)، ج) تصویری از طرح خلیجی کوارتز در یک سنگ داسیتی در منطقه (XPL).

های میکروسکوپی، سنگ‌های بازالتی بیشتر آفانیتیک و دارای فنوکریست‌های پلازیوکلاز و پیروکسن هستند که در رده‌بندی بافتی، بافت‌های میکرولیتی پورفیریک را نشان می‌دهند (شکل ۳ ث). بافت گلومرپورفیریک که ناشی از پدیده تفریق ماقمایی است در این دنباله‌ها مشاهده شده است. پلازیوکلازها هم به صورت درشت بلور و هم کشیده و میله‌ای شکل بیشتر متن سنگ را به خود اختصاص داده‌اند. پیروکسن‌ها نیز با اندازه‌ای متوسط در حدود ۱ میلی متر پس از پلازیوکلاز مهمترین کانی تشکیل دهنده این سنگ‌ها هستند که در برخی

بازالت‌ها

بازالت‌ها در منطقه‌ی شمال شرق بافت و در ناحیه‌ی مورد بررسی کمترین تنوع سنگ‌ها را به خود اختصاص داده‌اند و همراه با دنباله‌های آندزیت-بازالتی دیده شده‌اند. در نمونه‌ی دستی، این سنگ‌ها به رنگ‌های خاکستری تیره و سیاه و اغلب بدون حفره مشاهده شده‌اند. در نمونه دستی الیوین‌ها به رنگ سرخ دیده می‌شوند که نشانه‌ای از ایدنگسیتی شدن آنهاست. کانی‌های اصلی این سنگ‌ها را می‌توان پلازیوکلاز و پیروکسن و الیوین قلمداد کرد که الیوین‌ها به دلیل دگرسانی به ایدنگسیت تبدیل شده‌اند و شناسایی آنها دشوار شده است. بر پایه بررسی-

پلازیوکلارها قرار گرفته‌اند.

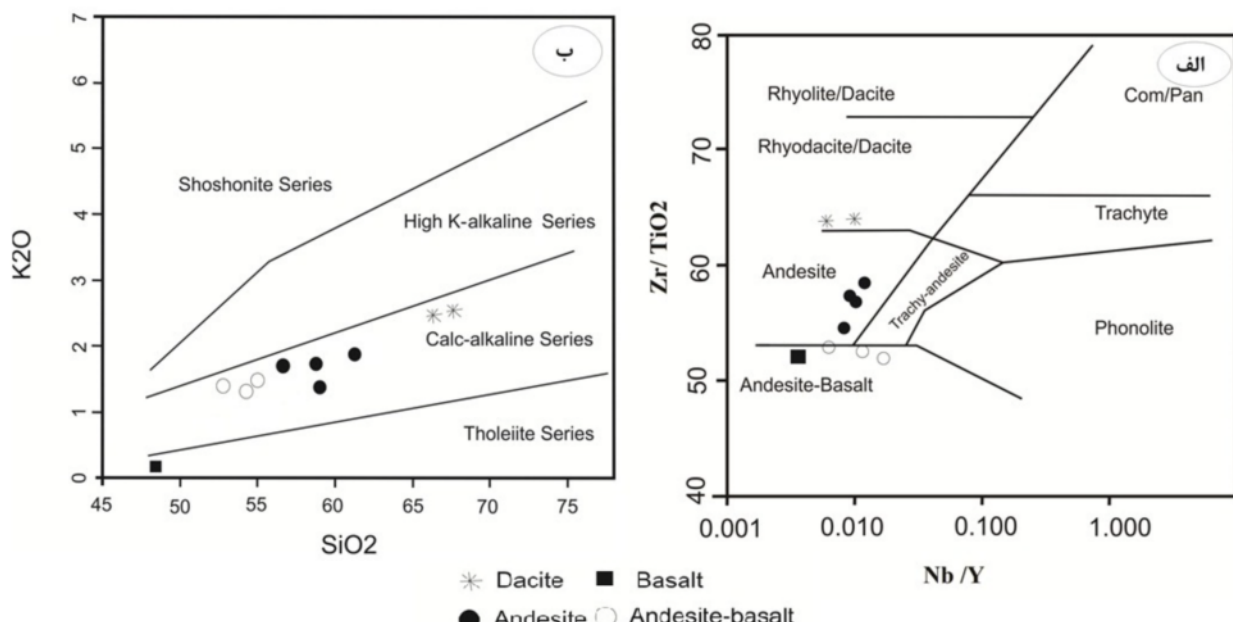
ژئوشیمی و سنگ زایی

در نمودار نامگذاری Zr/TiO_2 نسبت به Y/Nb [۱۴] (شکل ۴) نمونه‌های سنگی منطقه در گستره آندزیت تا آندزیت بازالت، تراکی آندزیت و داسیت قرار می‌گیرند. همچنین در نمودار تعیین سری ماقمایی با استفاده از نمودار K_2O/SiO_2 [۱۵] (شکل ۴ ب) نمونه‌های مورد بررسی در گستره آهکی-قلیابی با پتانسیم متوسط قرار می‌گیرند. از سرشیت‌های مهم سنگ‌های آتشفسانی وابسته به جزایر قوسی، روند خطی و پیوسته مثبت در نمودار K_2O-SiO_2 است در حالی که در سنگ‌های آتشفسانی که در حواشی فعال قاره قرار دارند داده‌ها کمی پراکنده‌تر از این مورد در سنگ‌های تحت بررسی در منطقه شمال غرب بافت نیز مشاهده شده است که می‌توان یکی از احتمالات آن را به آغشتگی ماقمای مادر با مواد پوسته-ای ربط داد [۱۱]. سنگ‌های آتشفسانی منطقه بافت در استان کرمان با مقدار اکسید سیلیس برابر ۴۸/۳۲ تا ۶۱/۵۰ درصد وزنی مشخص شده‌اند. میزان Al_2O_3 و K_2O این گدازه‌ها نیز در حد متوسط بوده و مقادیر به ترتیب ۱۶/۱۶ تا ۱۸/۵۱ و ۰/۷۶ تا ۲/۴ درصد وزنی را نشان می‌دهند.

از مقاطع آثار تجزیه شدن آنها به کانی‌های تیره از جمله مگنتیت مشاهده شده‌اند (شکل ۳ ث).

داسیت‌ها

داسیت‌ها در منطقه مورد بررسی با ظاهری خاکستری در نمونه‌ی دستی مشخص و متمایز هستند. بافت اصلی آن‌ها هم پورفیری با خمیره‌ی دانه ریز و گاهی بافت پوئی کلیتیک است. درشت بلورهای شکل‌دار و دارای منطقه‌بندی نوسانی پلازیوکلارها، فراوانترین تشکیل دهنده‌گان این واحدها هستند و برخی از آن‌ها کرانه‌های خلیجی شکل دارند (شکل ۳ ج). مهمترین کانی فرومینیزین در این سنگ‌ها درشت بلورهای هورنبلند سبز با حاشیه‌های واکنشی و گاهی بیوتیت‌ها هستند. کوارتز کمتر از ۲۰ درصد حجم این سنگ‌ها را بخود اختصاص داده است و به صورت بلورهای بی‌شکل هم بعد با اندازه‌های ۰/۵ تا ۲ میلی متر دیده می‌شوند. کانی‌های تیره آبدار همانند بیوتیت و هورنبلند نیز تا کمتر از ۱۰ درصد حجمی این سنگ‌ها را تشکیل داده‌اند و به شکل میکروفنوکریست و بلورهای ریز در متن سنگ حضور دارند. کانی‌های فرعی هم کمتر از ۵ درصد حجمی این سنگ‌ها را تشکیل داده‌اند که کانی‌های تیره مهمترین آنها هستند. این کانی‌ها بیشتر به صورت نیمه شکل‌دار تا بی‌شکل بوده و به صورت منفرد در فضای بین

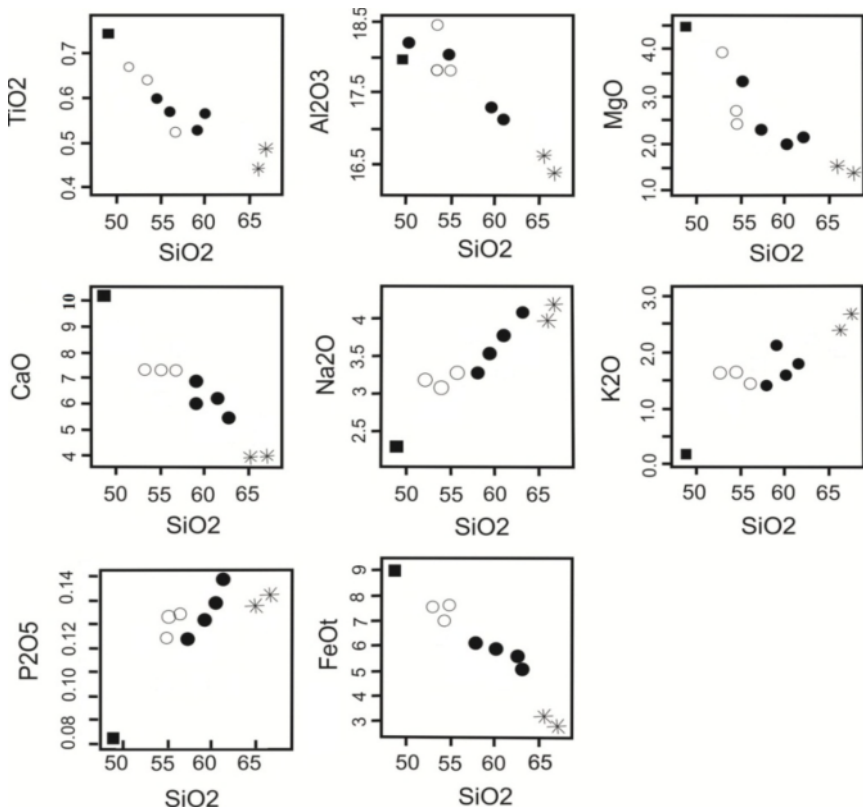


شکل ۴ (الف) موقعیت سنگ‌های آتشفسانی منطقه‌ی شمال شرق بافت در نمودار نامگذاری Zr/TiO_2 نسبت به Y/Nb [۱۴]، (ب) تعیین سری ماقمایی گدازه‌های منطقه مورد بررسی با استفاده از نمودار K_2O/SiO_2 نسبت به Nb/Y [۱۵].

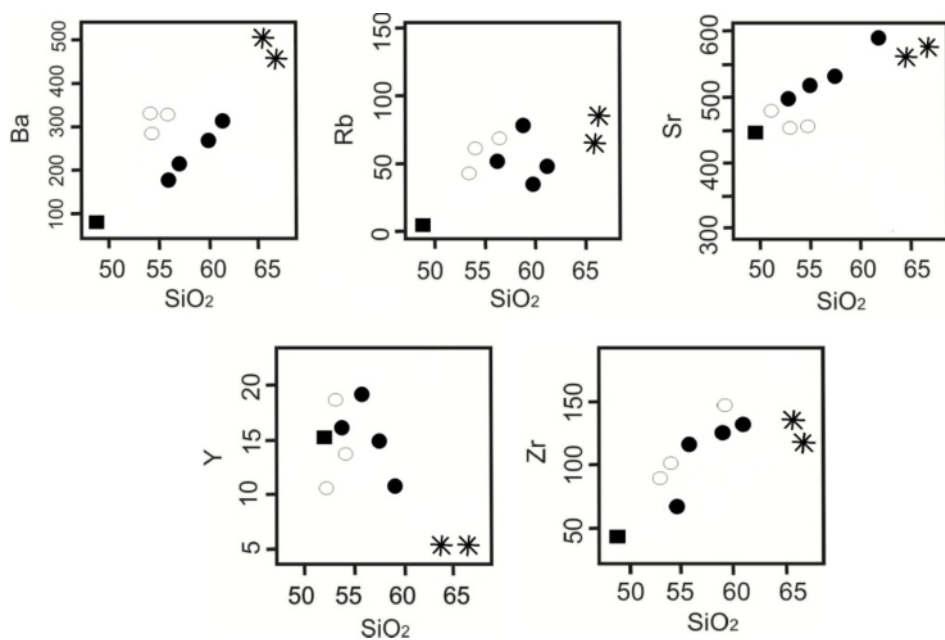
تبلور بخشی را بدون تحمل آلایش پوسته‌ای سپری می‌کنند داده‌های مربوط به تجزیه‌های شیمیایی آنها در نمودارهای هارکر یک روند خطی پیوسته را نشان می‌دهد. در شکل ۵ این روندهای خطی در مورد سنگ‌های آتشفشنانی منطقه شمال غرب بافت دیده می‌شود که تقریباً روندی منظم دارند [۱۱]. در شکل ۷ که نمونه‌های سنگی منطقه نسبت به گوشه‌ی اولیه بهنجار شده‌اند [۱۸]، عناصر Ti, Nb, Rb و بی‌هنجاری‌های منفی نشان می‌دهند در حالی که Th, Sr, K, Rb و غنی‌شدگی نسبی دارند. بی‌هنجاری منفی Ti و Nb همراه با غنی‌شدگی LREE و بی‌هنجاری مثبت K می‌تواند نشان دهنده‌ی یک محیط قوس قاره‌ای وابسته به فرورانش باشد [۱۹] مقدار بالای Nb, HFSE, Pb, Sr, Ba, K, Rb (LILE) و بی‌هنجاری منفی Hf, Zr و Ti و Nb, Ta در آندزیت‌ها از ویژگی‌های گدازه‌های آندزیتی آهکی - قلیایی در حاشیه‌های قاره‌ای همگراست. چنین روندهایی توسط تعدادی از پژوهشگران در مجموعه آتشفشنانی‌های آهکی-قلیایی آرکن پسین در منطقه‌ی سازنده‌ای کورنالپی و گیندالبی در غرب استرالیا گزارش شده است [۲۰].

بررسی روند تغییرات در نمودارهای هارکر، نشان می‌دهد که با افزایش سیلیس اکسیدهای عناصر اصلی مانند Al_2O_3 و Fe_2O_3 روندی نزولی و عناصری مانند Na_2O , K_2O و P_2O_5 روندی صعودی مشخصی را نشان می‌دهند (شکل ۵). در نمودارهای هارکر روند عناصر فرعی و کمیاب مانند Sr و Rb صعودی است و این روندها برای عناصری از قبیل Zr, Ba و Y نزولی است (شکل ۶). روندهای نزولی مشاهده شده در بعضی از این نمودارها (مانند نمودارهای CaO , Al_2O_3 و Fe_2O_3) می‌تواند به علت تبلور پلازیوکلاز کلسیک و کلینوپیروکسن باشد [۱۶].

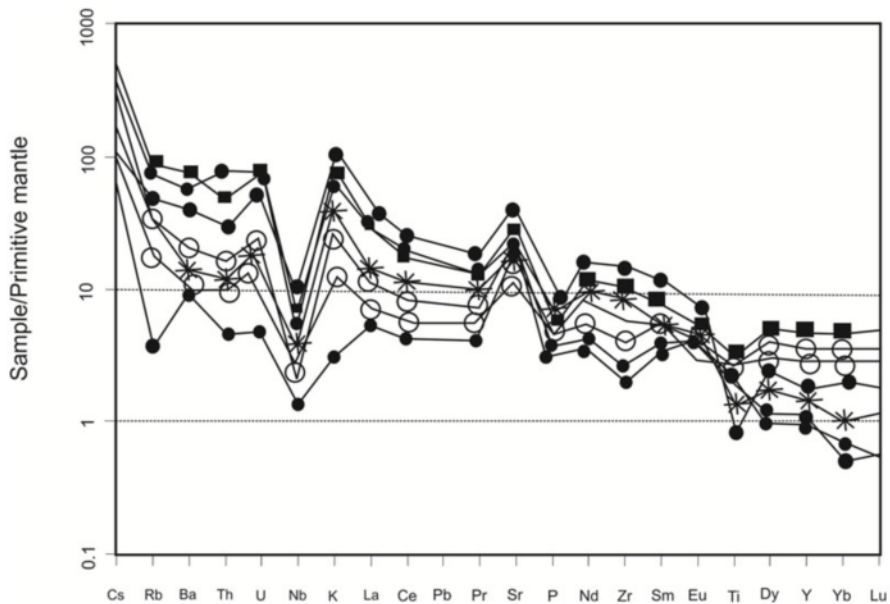
روندهای افزایشی مشاهده شده را در برخی نمودارها (مانند P_2O_5 , K_2O و CaO) را می‌توان به این علت نسبت داد که این اکسیدها در مراحل اولیه جدایش به صورت ناسازگار عمل کرده و میل به باقی ماندن در فاز گدازه را از خود نشان داده‌اند و با بیشتر شدن روند تکامل ماقما وارد کانی‌های با دمای پایین می‌شوند [۱۷]. عدم تشکیل آپاتیت در مراحل اولیه تکامل ماقما سبب انباشت فاز فسفر در ماقما و بیشتر شدن تمرکز ماقما اولیه می‌شود. زمانی که ماقماها فرآیندهای P₂O₅ در ماقما اولیه می‌شوند.



شکل ۵ تغییرات اکسیدهای اصلی در برابر درصد وزنی SiO_2 برای نمونه‌های منطقه‌ی مورد بررسی (علام مشابه شکل ۴).



شکل ۶ تغییرات عناصر کمیاب و عناصر فرعی در برابر درصد وزنی SiO₂ (علام مشابه شکل ۴).



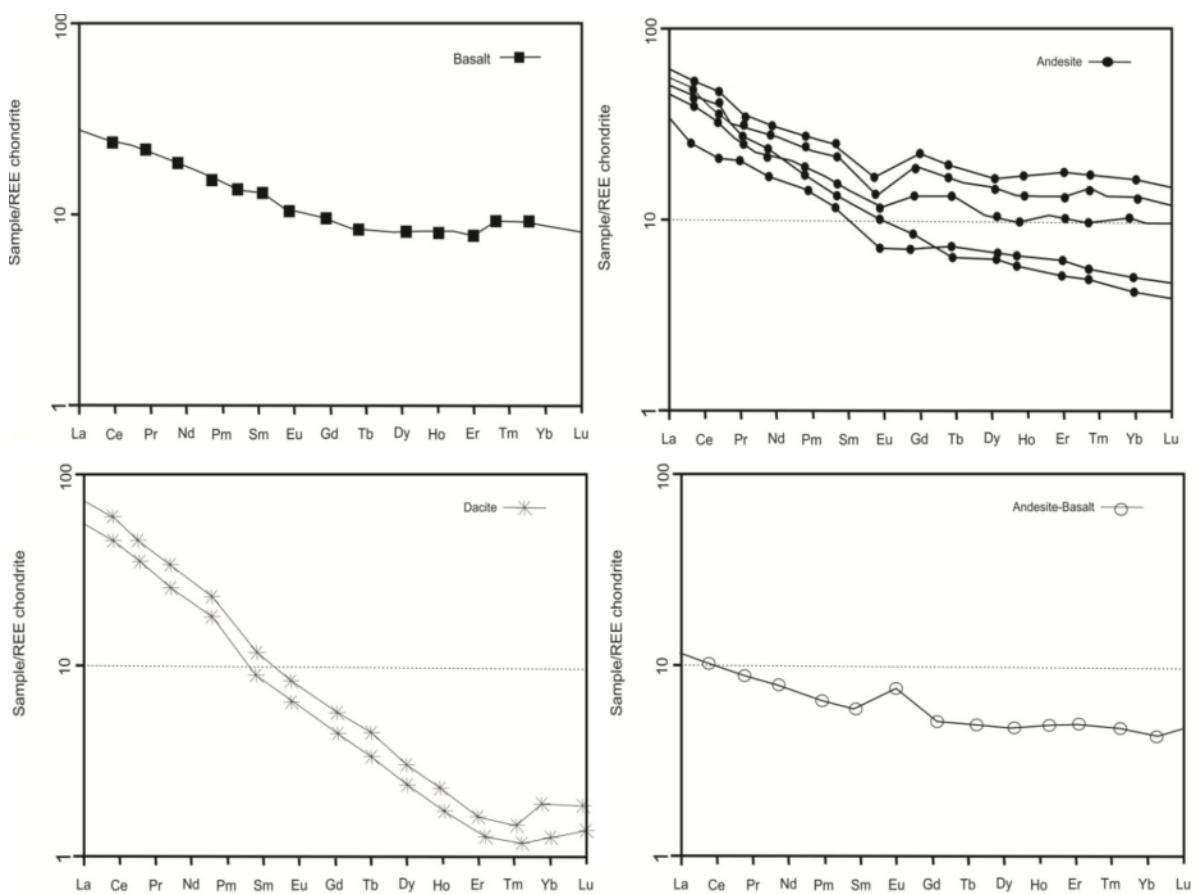
شکل ۷ نمودار عنکبوتی عناصر فرعی و کمیاب بهنجار شده نسبت به گوشه‌های اولیه [۱۸] برای نمونه‌های برداشت شده از منطقه‌ی شمال شرق بافت (علام مشابه شکل ۴).

تقریباً مشابه یکنواخت و مسطح را نشان می‌دهند با این تفاوت که در آندزیت-بازالت‌ها غنی‌شدگی از Eu مشاهده می‌شود که علت آن را می‌توان به عدم تبلور پلازیوکلаз در مراحل اولیه تبلور مagma و انباشت Eu در فاز گدازه نسبت داد. در مقابل در واحدهای آندزیتی تهی‌شدگی از Eu مشاهده می‌شود که با مشاهده‌ی فراوان درشت بلورهای پلازیوکلاز در مقاطع مشاهده

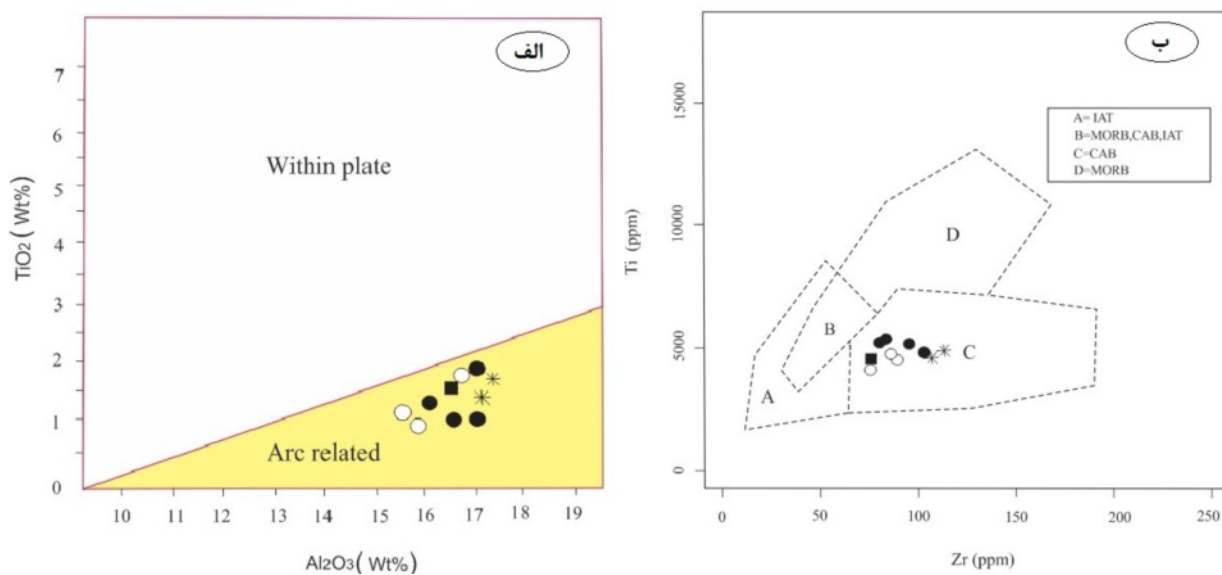
در شکل ۸ که الگوی عناصر خاکی نادر به هنجار شده نسبت به کندریت [۱۹] نشان داده شده است نمونه‌های سنگی منطقه به تفکیک نشان داده شده‌اند. همچنان با این نمودار، مشاهده می‌شود که هر ۴ طیف سنگی بررسی شده در منطقه، روندهای خاصی را نشان می‌دهند. واحدهای بازالتی و آندزیت بازالتی منطقه یک الگوی

همچنین در نمودار Hf/3-Th-Ta [۲۳] (شکل ۱۰ الف) نمونه‌های مورد بررسی منطقه‌ی مورد بررسی در گستره‌ی انواع آهکی-قلیابی قوس آتشفشنایی قرار می‌گیرند. در نمودار Ti-Zr-Y [۲۴] (شکل ۱۰ ب) نمونه‌های منطقه‌ی در گستره‌ی C گرفته و به بازالت‌های آهکی-قلیابی نواحی فعال حاشیه‌ی قاره متمایل هستند. با توجه به (شکل ۱۰ پ) به نظر می‌رسد که کمان ماقمایی سازنده‌ی سنگ‌های منطقه‌ی ناشی از فرورانش یک پوسته‌ی اقیانوسی به زیر یک پوسته‌ی قاره‌ای بوده است. از نسبت عناصر کمیاب Zr/Y نیز می‌توان برای تشخیص محیط زمین‌ساختی بهره برد. به این صورت که اگر در گدازه‌ها نسبت Zr/Y بزرگتر از ۳ باشد به کمان‌های آتشفشنایی قاره‌ای وابسته‌اند و اگر در آنها این نسبت کمتر از ۳ باشد به کمان‌های آتشفشنایی اقیانوسی تعلق دارند. سنگ‌های آتشفشنایی مورد بررسی دارای نسبت Zr/Y بالاتر از ۳ هستند (میانگین ۱۰) و در گروه قوس‌های آتشفشنایی قاره‌ای قرار می‌گیرند [۲۵].

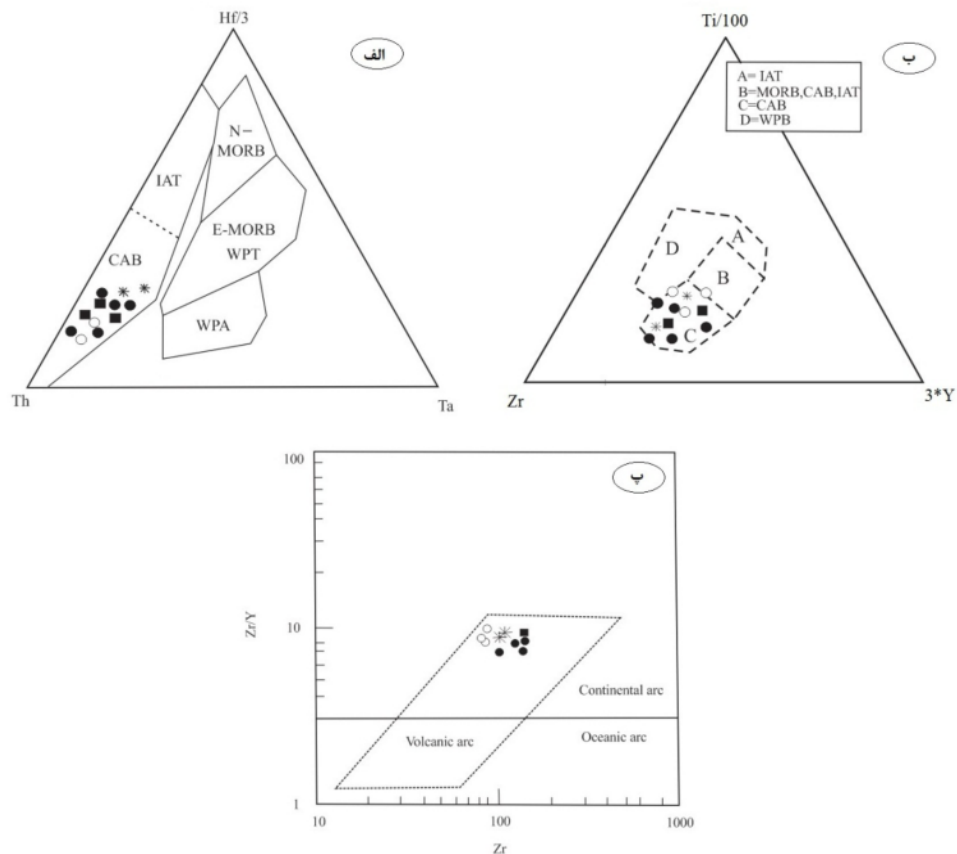
شده کاملاً سازگار و منطبق است. در تمام واحدها غنی شدگی LREE نسبت به HREE مشاهد شده است. سنگ‌های داسیتی منطقه نیز الگوی غنی شدگی عناصر LREE نسبت به MREE‌ها و HREE‌ها را نشان می‌دهند. تهی شدگی عناصر MREE در این نوع سنگ‌های منطقه را می‌توان با تبلور Horenbelt در این سنگ‌ها توجیه کرد که مهمترین حامل برای این عناصر تلقی می‌شود. در این نمودار عنصر Eu نسبت به عناصر پیرامون بیهنجاری منفی نشان می‌دهد (برای آندزیت-های منطقه نسبت Eu/Eu* برابر با ۰,۸۶ و برای آندزیت-بازالت‌ها نسبت آن ۱,۰۴ است). در نمودار $TiO_2-Al_2O_3$ [۲۱] (شکل ۹ الف) نمونه‌های منطقه در گستره‌ی قوس ماقمایی ناشی از فرورانش قرار می‌گیرند. با ترسیم داده‌های نمونه‌های مورد بررسی در نمودار تمایزی [۲۲] مشخص شده است که نمونه‌های مورد بررسی در قلمرو سنگ‌های وابسته به محیط‌های فرورانش قرار می‌گیرند (شکل ۹ ب) [۲۲, ۲۱].



شکل ۸ نمودار عنکبوتی عناصر خاکی نادر بهنجار شده نسبت به کندریت [۱۹] برای سنگ‌های آتشفشنایی منطقه‌ی شمال شرق بافت (علاوه مشابه شکل ۴).



شکل ۹ الف) موقعیت زمین ساختی گذازهای منطقه‌ی مورد نظر با استفاده از نمودار تغییرات TiO_2 نسبت به Al_2O_3 [۲۱]، ب) تعیین موقعیت زمین ساختی نمونه‌های مورد بررسی منطبق بر نمودار Ti در برابر Zr در برخلاف [۲۲] نمودار نمونه‌های منطقه مورد بررسی به کمان‌های آتشفسانی وابسته‌اند (علاوه مشابه شکل ۴).



شکل ۱۰ الف) موقعیت زمین ساختی و جایگاه سنگ‌های ساختی شرق بافت با بهره‌گیری از مثلث $\text{Hf}-\text{Th}-\text{Ta}$ [۲۳]، ب) نمودار مثلثی $\text{Ti}-\text{Zr}-\text{Y}$ [۲۴] که مبنی وابستگی سنگ‌های مورد بررسی به گستره‌ی سنگ‌های جزایر قوسی در حاشیه‌ی فعال قاره‌ای قرار می‌گیرند، پ) نمونه‌های منطقه‌ی مورد بررسی بر روی نمودار $\text{Zr}/\text{Y}-\text{Zr}$ [۲۵] که وابستگی این سنگ‌ها را به نواحی کمان‌های قاره‌ای آتشفسانی نشان می‌دهد (علاوه مشابه شکل ۴).

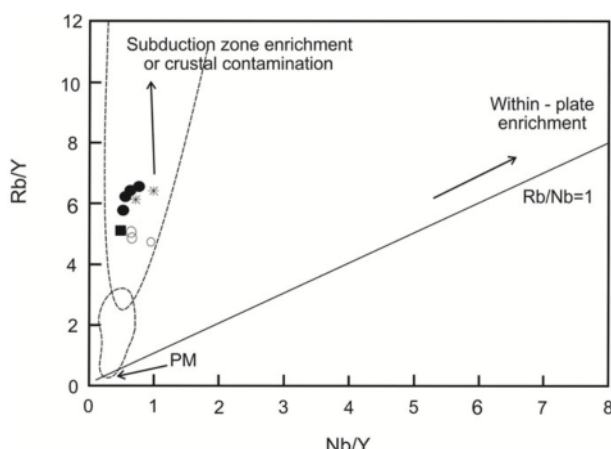
نسبت بین ۱/۶۵ و ۵/۶۱ تغییر می‌کند و به گروه انواع کوهزایی تعلق دارد. آندزیت‌های کوهزایی و سنگ‌های وابسته به آن‌ها بیشتر در دو محیط حاشیه‌ی فعال قاره و جزایر قوسی تشکیل می‌شوند که هر یک سرشتی‌های خاص خود را دارند. در جدول ۲ مقایسه‌ای میان سرشتی‌های انواع سنگ‌های آتشفشنانی جزایر قوسی و حاشیه‌ی فعال قاره‌ای با سنگ‌های شمال شرق بافت و سنگ‌های آتشفشنانی شمال بیرون‌جند، تفتان و آندزیت‌های شمال غرب ایران صورت گرفته است.

تعدادی از پژوهشگران [۲۹، ۳۰، ۳۱] سنگ‌های آتشفشنانی واقع در کمربند ارومیه-دختر را در ردیف انواع کمان‌های ماقمایی نابلغ و جوان قلمداد می‌کنند و منطقه مورد مطالعه هم به احتمال زیاد در چنین محیطی شکل گرفته است. برای بررسی شکل‌گیری ماقمایی سنگ‌های مورد مطالعه از مدل-سازی‌های گوناگون کمک گرفته شده است. یکی از این شبیه‌سازی‌ها در نمودار $\text{Y-Nb}/\text{Rb}$ (شکل ۱۱) آمده است [۳۲]. روندهای عمودی داده‌ها در این نمودار می‌تواند غنی شدگی منطقه فرورانش یا آلدگی پوسته‌ای را نشان دهد در حالی که غنی شدگی درون صفحه‌ای باعث به وجود آمدن نسبت‌های Nb/Rb مساوی یک می‌شود [۳۳]. در این نمودار نمونه‌های مورد بررسی به صورت عمودی آرایش یافته‌اند که می‌تواند نشانگر غنی شدگی منطقه‌ی فرورانش یا آلدگی پوسته‌ای این نمونه‌ها باشد. در نمونه‌های آندزیتی منطقه، نسبت $\text{Y-Nb}/\text{HFSE}$ پایین بوده (میانگین ۰/۲۹) و نشاندهنده‌ی تهی شدگی در این سنگ‌هاست. این حالت در اغلب سنگ‌های آتشفشنانی وابسته به منطقه فرورانشی مشاهده شده است [۳۴]. در منطقه‌ی فرورانشی HFSE ها مانند Nb و Ti درون صفحه فرورونده باقی می‌مانند در حالی که عناصر LILE ها مثل Ba ، K و Sr به راحتی به درون گوہی گوشتی‌ای بالای صفحه فرورنده منتقل می‌شوند [۳۵، ۳۶]. مقایسه‌ی فراوانی عناصر خاکی نادر در گدازه‌های آتشفشنانی منطقه با انواع شناخته شده آندزیت‌های جهان نشان می‌دهد که الگوی داده‌های عناصر خاکی نادر وابسته به گدازه‌های منطقه‌ی شمال شرق بافت، تشابه بالایی با روند عناصر خاکی نادر CAB (باالت‌های آهکی-قلیابی شاخص نواحی قوس آتشفشنانی) (شکل ۱۲) دارد، ولی این نمونه‌ها نسبت به LKT (تونیت‌های کم پتاسیم فقری از عناصر ناسازگار) از LREE ها بسیار غنی‌تر بوده و حاوی مقادیر کمتری از HREE هستند.

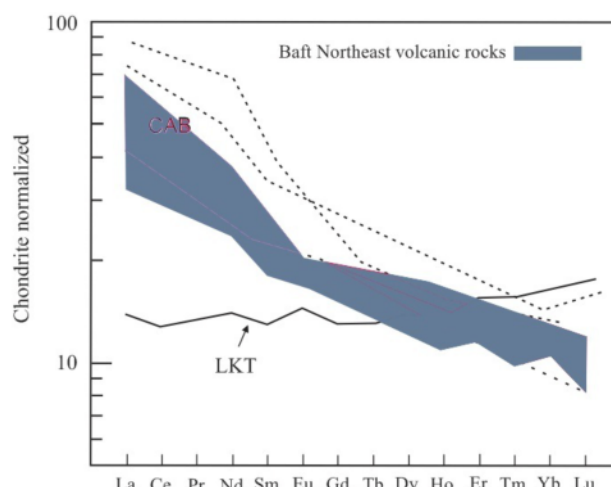
با توجه به نسبت‌های بالای Nb/U در منطقه‌ی (۲/۶۳-۵) و Nb/Th (۱/۲-۰/۶۸) در سنگ‌های منطقه و نزدیک بودن این اعداد به مقادیر گزارش شده به کمان‌های آتشفشنانی (۱/۶-۱/۱) و (۰/۳۶-۰/۵۲)، می‌توان گفت که ماقمایی این سنگ‌ها شباهت زیادی به ماقمای کمان آتشفشنانی همراه با مقادیر بالایی از این نسبت‌ها دارد [۲۶]. علاوه بر این عقیده [۲۷] نسبت بالای Ba/Nb معرف ماقماتیسم کمان‌های آتشفشنانی قاره‌ای است، که برای نمونه‌های مورد بررسی در شمال شرق بافت میانگین ۸۰ است. به نظر [۲۸] می‌توان ماقمای کمان آتشفشنانی را بر حسب نسبت Ce/Yb به دو نوع غنی شده و اندکی غنی شده تقسیم کرد. اگر نسبت فوق بالاتر از ۱۵ باشد نشانگر کمان غنی شده و اگر کمتر از ۱۵ باشد معرف کمان کمی غنی شده است. به علاوه در ماقمای کمانی غنی شده این تغییرات دو عنصر با یکدیگر رابطه‌ی مستقیم دارد، در صورتی که در انواع قوس‌های غنی شده این نسبت‌ها نشانگر نسبت این عناصر در خاستگاه، میزان درجه‌ی ذوب بخشی و دخالت رسوب‌های فرورونده در تولید گدازه است. میانگین این نسبت در سنگ‌های شمال شرق بافت ۴۰ است که معرف همخوان آن با یک ماقمای کمان غنی شده است. این غنی شدگی می‌تواند ناشی از دگرگاهی شدید منبع گوشه‌ای و نرخ پایین ذوب بخشی خاستگاه باشد. همچنین سنگ‌های آذرین با نسبت پایین TiO_2 و غنی شدگی از عناصر LIL (شبیه نمونه‌های این بررسی) حاکی از دخالت رسوب‌های در یک خاستگاه ماقمایی دارند [۲۹] حال آنکه سنگ‌های آذرین غنی از تیتانیوم و نسبت‌های اندک Rb/Sr درون یک شکافت درون صفحه‌ای تشکیل شده‌اند. بر اساس نسبت Zr/Nb می‌توان مناطق وابسته به فرورانش کوهزایی را از انواع غیر کوهزایی تمیز داد. به این ترتیب که اگر نسبت Zr/Nb در سنگ‌های مورد بررسی از ۱۰ بزرگ‌تر باشد نشان-دهنده ماقماتیسم وابسته به یک خاستگاه تغییر یافته متناسب با فرورانش، و اگر این نسبت کمتر از ۱۰ باشد نشانگر یک خاستگاه غیرکوهزایی است [۲۶]. میانگین این نسبت در سنگ‌های منطقه ۳۲ است که نشاندهنده‌ی ارتباط سنگ‌های منطقه با محیط فرورانش است. یک روش مناسب دیگر برای تشخیص سنگ‌های آتشفشنانی کوهزایی و غیرکوهزایی، استفاده از نسبت $\text{Al}_2\text{O}_3/\text{Fe}_2\text{O}_3$ است به طوریکه اگر این نسبت کمتر از ۲ باشد وابسته به انواع ناکوهزایی خواهد بود و نسبت‌های بزرگ‌تر از ۲ به انواع کوهزایی. در سنگ‌های مورد بررسی، این

جدول ۲ مقایسه‌ی داده‌های شیمیایی سنگ‌های آتشفشارانی در محیط ناکوهزایی (جزایر قوسی) و کوهزایی (حاشیه‌ی قاره‌ای فعال) [۳۶] با آتشفشارانی‌های بافت، بیرجند [۳۷]، نفتان [۳۸] و شمال غرب ایران [۳۹].

شمال غرب ایران	شمال شرق بافت	شمال بیرجند	نفتان	حوالی فعال قاره	جزایر قوسی	شاخص
۵۳-۵۶	۴۸-۶۷	۵۵-۷۰	۵۷-۶۰/۲	۵۶-۷۵	۵۰-۶۶	SiO_2
۳-۳۵	۱۶۵-۵۶۱	۲۶-۷۶۲	۲۶۲-۳۹۱	>۲	>۲	$\text{Al}_2\text{O}_3/\text{Fe}_2\text{O}_3$
۲/۱۷-۳	۱/۸۱-۳	۱/۳-۱۲/۶	۱/۶۷-۴/۱۶	۲<	۲>	FeO/MgO
۱/۲	۰/۵	۰/۴-۰/۸	۰/۴۷-۰/۷۷	۱/۱-۰/۶	۰/۸	$\text{K}_2\text{O}/\text{Na}_2\text{O}$
۶۸-۱۵۸	۰/۴-۵/۷	۴۴-۲۴۵	۵۵-۳۴۰	۶۶-۱۰۸	۳۰-۴۵	Rb (ppm)
۱۳۱-۲۲۲	۲۸-۱۱۶	۲۳-۱۲۲	۹۵-۴۱۰	۱۸۴-۲۲۶	۱۰۰-۱۱۲	Zr (ppm)
۵۵۳-۸۳۳	۲۹۷-۶۵۲	۲۱۸-۱۱۴۸	۳۱۰-۷۶۳	۵۷۰-۸۶۰	۲۸۰-۴۶۰	Sr (ppm)
آندزیت، تراکی آندزیت، توف آندزیت، آندزیت بازالت، داسیت، آندزیت، ریولیت	تماماً کالک‌آلکالن و به ندرت توله‌ایتی	داسیت، آندزیت، ریولیت و به ندرت آذراواری	بازالت، آندزیت بازالت، آندزیت	آندزیت، ایگنومبریت، آذراواری	بازالت، آندزیت، داسیت	لیتولوژی
شوشوونیتی		تماماً آهکی-قلیابی	تماماً آهکی-قلیابی و ندرتاً آهکی	بیشتر آهکی-قلیابی، و به مقدار کمتر توله‌ایتی	بیشتر توله‌ایتی و به مقدار کمتر آهکی- قلیابی	سری ماغمایی



شکل ۱۱ نمودار Y/Rb در مقابل Nb/Y [۳۲] سنگ‌های منطقه مورد بررسی مشخص شده است که روند غالب در آنها به سمت غنی‌شدگی در منطقه‌ی فرورانشی و آلایش پوسته‌ای است (علام مشابه شکل ۴).



شکل ۱۲ روند عناصر خاکی نادر بهنجار شده نسبت به کندریت نمونه‌های شمال شرق بافت در مقایسه با تولیت‌های فقیر از پتاسیم (LKT) و بازالت‌های آهکی قلیابی مناطق قوس آتشفشاری (CAB) (داده‌های CAB از [۲۳] و LKT از [۲۲]).

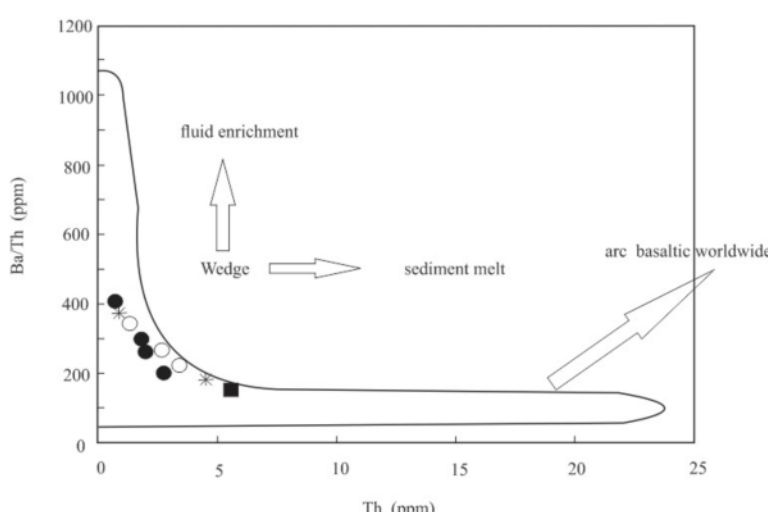
می‌شود، روند غنی‌شدگی واحدهای آتشفسانی منطقه همخوان با روند غنی‌شدگی همراه با منطقه‌ی فرورانش است. علاوه بر این سنگ‌های آتشفسانی مورد بررسی با یک روند افزایشی در نسبت Th/Yb و نسبت Nb/Yb مشخص می‌شود که نشان‌دهنده‌ی تفاوت عملکرد نقش جدایش بلورین و یا غنی‌شدگی با درجات مختلف خاستگاه گوشه‌ای است. نسبت Y/Nb سنگ‌های منطقه‌ی مورد بررسی بین ۰/۰۴ و ۰/۸ است. به طور کلی نقش خاستگاه استنسفری یعنی یک خاستگاه غنی‌شده در مقابل خاستگاه لیتوسفری با نسبت Y/Nb بزرگتر از ۲ مشخص شده است [۴۲]. از طرف دیگر برای پی بردن به نقش رسوب‌ها در محل خاستگاه گوشه‌ای سازنده‌ی سنگ‌های آتشفسانی و پی بردن به نقش ذوب بخشی گوهی گوشه‌ای به تنها و یا همراه با رسوب‌های فرورانش شده در تشکیل گدازه‌های بازالتی نمودار Sm/La در برابر Th/La پیشنهاد شده است [۴۳]. به طور کلی نسبت Th/La در بازالت‌های اقیانوسی پایین بوده (کمتر از ۰/۲)، در حالی که در محیط‌های قاره‌ای این نسبت بالاست (بالاتر از ۰/۲۵)، و در بازالت‌های قوس‌های آتشفسانی و رسوب‌های این میزان بین ۰/۰۹ و ۰/۴۰ متغیر است. سنگ‌های منطقه مورد بررسی روندی خطی را بین ترکیب رسوب‌های کمان و ترکیب گوشه را در نمودار (شکل ۱۴ ب) نشان می‌دهند. لذا مآگماهای کمان آتشفسانی سهم زیادی از نسبت Th/La خود را از رسوب‌ها به ارث می‌برند و این نسبت در گوهی گوشه‌ای و طی فرایند فرورانش به تنها و بدون دخالت رسوب‌ها نمی‌تواند مقادیر جدا شده‌ی بالا را نشان دهد.

بنابر نمودارهای بهنجار شده‌ی نمونه‌های آتشفسانی شمال شرق منطقه‌ی بافت که نسبت به کندریت [۱۹] و گوشه‌ی اولیه [۱۸] بهنجار شده‌اند غنی‌شدگی از Th در این سنگ‌ها مشخص شده است. مقادیر بالای توریوم در این سنگ‌ها نقش رسوب‌های فرورانده شده طی فرورانش و مشارکت آن با ماگمای تولیدکننده‌ی سنگ‌های مورد بررسی را نشان می‌دهد (شکل ۱۳). افزایش توریوم را می‌توان در این سنگ‌ها به ۲ عامل نسبت داد:

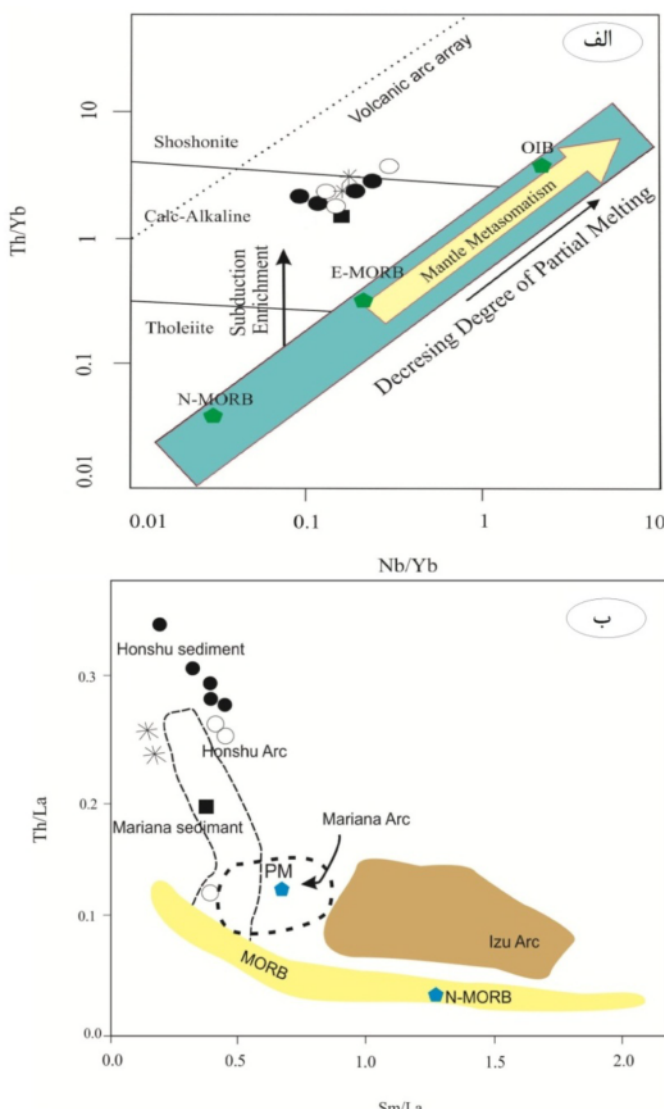
- ۱- تاثیر آبودگی ناشی از مواد پوسته‌ی فوقانی
 - ۲- تاثیر آبگون‌های آزاد شده از پوسته‌ی اقیانوسی فرورونده.
- به طور کلی مآگماهای حواشی فعال قاره‌ای در مقایسه با ماگماهای جزایر قوسی درجات بالاتری از غنی‌شدگی عناصر ناسازگار را نشان می‌دهند که ممکن است نشان دهنده‌ی یک خاستگاه غنی‌شده و رخداد آلایش پوسته‌ای باشد [۴۰].

بحث و برداشت

به طور کلی نسبت‌های Y/Nb و Th/Yb نسبت به Th/Y و Th/Yb، می‌توانند اطلاعات جامعی از خاستگاه آتشفسانی‌های منطقه‌ی مورد بررسی فراهم کنند. غنی‌شدگی گوشه‌ای با افزوده شدن مقدار کمی از گدازه‌ای که در اعمق، با درصد پایین ذوب بخشی ایجاد شده‌اند، صورت گیرند که همراه با افزایش نسبت‌های Y/Nb و Th/Yb یا Th/Yb باشد. اما از طرف دیگر غنی‌شدگی ناشی از شاره‌های منطقه‌ی فرورانش تنها به افزایش نسبت‌های Y/Th و Th/Yb به همراه کاهش نسبت Nb/Y صورت می‌گیرد. چنانکه در شکل (۱۴ الف) دیده



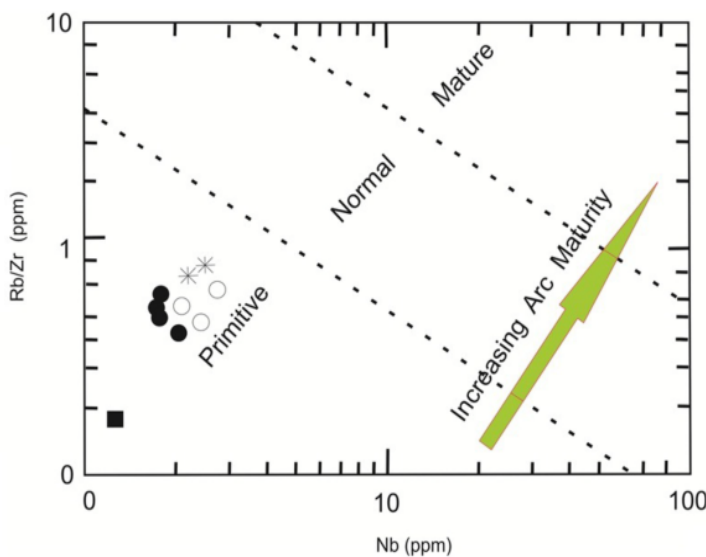
شکل ۱۳ موقعیت نمونه‌های مورد بررسی روی نمودار Ba/Th در برابر Th [۴۰] (علاوه مشابه شکل ۴).



شکل ۱۴ (الف) نمودار Nb/Yb در برابر Th/Yb برای سنگ‌های مورد بررسی [۴۲]، (ب) نمودار Sm/La در برابر Th/La برای بازالت‌های قوس‌های آتشفشاری و سنگ‌های منطقه‌ی مورد بررسی [۴۳]. هر قوس آتشفشاری میان اختلاطی میان گوشته‌ای و یک ترکیب رسوبی را نشان می‌دهد.

دیده شده و احتمال آمیختگی ماقماهایی با ترکیب تقریباً مشابه در سنگ‌ها وجود دارد [۱۲]. از نظر شیمیایی سنگ‌ها به انواع وابسته به بازالت‌های آهکی-قلیایی مناطق فروزانشی شبیه‌اند و منطبق بر نمودارهای عناصر نادر از قبیل Nb نسبت به Rb/Zr (شکل ۱۵) جزء سنگ‌هایی هستند که در کمان‌های ماقمایی جوان و نایالغ تشکیل شده‌اند. همچنین ماقماهای سازنده این سنگ‌ها آثار آلودگی یا ورود مواد پوسته‌ای از لیتوسفر فرورو را نشان داده و می‌توانند حاصل ذوب بخشی یک گوشته‌ی دگرنهاد شده باشند.

نسبت Th/La برای بیشتر گدازه‌های منطقه‌ی شمال شرق بافت بین ۰/۱ تا ۰/۳۷ متغیر است و بیشتر نمونه‌های مورد بررسی به قوس آتشفشاری Honshu تمایل دارند که معادل روند اختلاط میان یک مولفه‌ی گوشته‌ای و رسوب‌هاست. بنابراین آنچه که این شکل نشان می‌دهد تأثیر رسوب‌های فروزانده شده در خاستگاه سنگ‌های منطقه‌ی مورد بررسی شامل تناوبی از گدازه‌ها و مواد آذرآواری بوده و گدازه‌ها بیشتر از نوع آندزیت، آندزیت بازالت و داسیت هستند. گدازه‌های مورد نظر از درشت بلورها غنی بوده و پلاژیوکلاز در آنها فراوان است. در مقطع نازک، آثار عدم تعادل در کانی‌هایی نظیر پلاژیوکلاز



شکل ۱۵ نمودار جدایش محیط زمین ساختی برون [۴۴] که در آن از نسبت Rb/Zr در برابر Nb استفاده شده است و نشان دهندهٔ وابستگی سنگ‌های آتشفشنایی منطقه مورد بررسی به کمان‌های آتشفشنایی نابالغ و تکامل نیافته است (علام مشابه شکل ۴).

منطقه‌ی فروانش برای سنگ‌های منطقه، منطقی به نظر می‌رسد. بر اساس نمودار [۴۴] (شکل ۱۵) که در آن از نسبت لگاریتمی Rb/Zr نسبت به Nb استفاده شده است، غالباً سنگ‌های منطقه در گستره‌ی کمان‌های ماقمایی جوان و نابالغ و یا در مراحل اولیه‌ی تکامل و گسترش کمان ماقمایی قرار گرفته‌اند. بررسی‌های مشابه صورت گرفته در ایران مانند شهاب‌پور [۳۱] نیز تایید کننده‌ی این برداشت است. بنابراین کم بودن ضخامت پوسته‌ی ایران مرکزی هنگام فروانش (حدود ۳۵ کیلومتر) می‌تواند نقش اصلی را در وابستگی این سنگ‌ها با جزایر قوسی داشته باشد [۴۰]. بنابر بررسی‌های [۴۵]، عمق مoho در حال حاضر حدود ۴۰ کیلومتر است که در زمان ائوسن کمتر از این مقدار بوده است زیرا برخورد صفحه‌ی عربستان با ایران و غلبه‌ی رژیم فشارشی منجر به تغییر عمق مoho و بیشتر شدن ضخامت آن از ائوسن شده است. علی‌رغم همخوانی کمان‌های ماقمایی در چگونگی فوران ماقما، تفاوت‌های مهمی بین فروانش به زیر پوسته‌ی اقیانوسی و فروانش به زیر پوسته‌ی قاره‌ای وجود دارد. کمان‌های آتشفشنایی که روی پوسته‌ی ضخیم فوران می‌کنند ماهیت ویژه‌ی خود را دارند مثلاً بیشتر سیلیسی بوده و به ازای مقدار معلوم SiO_2 تحول یافته‌تر می‌شوند. و نیز از عناصر LILE بویژه روبیدیوم، پتاسیم و اورانیوم غنی‌ترند. ماقما در حواشی فعال قاره‌ای بیشتر ترکیب آندزیتی - داسیتی داشته و پتاسیم بالایی دارد و لی ماقماهای جزایر قوسی بیشتر ترکیب آندزیت بازالتی دارند.

تحرک عناصر کمیاب ناسازگار هنگام آب‌زدایی لیتوسفر اقیانوسی فرورونده فرآیندی است که احتمالاً در تشکیل ماقماهای آهکی-قلیابی موثر است و پژوهشگران و زمین‌شناسان متعددی بر این باورند که طی این شرایط عناصری مانند Ce، Rb، K، Sr و Ce می‌توانند همراه با شاره‌ها حرکت کرده و به سمت گوهی گوشه‌ای صعود کنند و سبب دگرنهادی آن شوند [۳۵]. هر چند که در ماقماهای آندزیتی و بازالتی عناصر خاکی نادر در کانی‌های اولیه ناسازگار بوده و مقدارشان در LREE گذازه بالاتر از کندریت است، ولی افزایش مقدار عناصر Piroksen و الیوین باشد چراکه ضریب توزیع REE در این کانی‌ها از La تا Lu افزایش می‌یابد و تبلور جدایشی این کانی‌ها می‌تواند گذازه باقیمانده را از LREE نسبت به غنی سازد [۳۶]. آندزیت‌های آهکی-قلیابی نسبت به انواع سنگ‌های پشتہ‌ی میان اقیانوسی از عناصری که پتانسیل یونی پایینی دارند (Ba، Rb و Sc) غنی‌تر بوده و از عناصر پتانسیل یونی بالا (مثلاً Ta، Y، Hf، Ce، Nb، Sc و Yb) به دگرنهادی LREE تهی‌ترند. غنی‌شده‌ی این سنگ‌ها از آنها بهوسیله‌ی شاره‌های آزاد شده از لیتوسفر منشأ گوشه‌ای آنها بهوسیله‌ی شاره‌های آزاد شده از لیتوسفر فرورو، نسبت داده می‌شود. در مقابل پایین بودن فراوانی عناصر HFS را می‌توان به درجات بالاتر ذوب بخشی و پایداری این عناصر در فازهای دیرگداز ورقه فرورونده نسبت داد [۳۶]. به این ترتیب یک خاستگاه گوهی گوشه‌ای دگرنهاد بالای

- [4] Dimitrijevic, M. D., Cvetic, S., and Djokovic, I., "Geology of Kerman region: institute for geological and mining exploration and institution of nuclear and other mineral raw materials, Scale: 1: 500000", Geological survey of Iran, Report Yu/52, 334 pp.1973.
- [5] احمدی مقدم، پ.، احمدی پور، ح، "ژئوشیمی و پتروژئوژن سنگ‌های آتشفشنانی کوه چهلتن، جنوب غرب بردسیر" مجله بلور شناسی و کانی شناسی ایران (۱۳۹۳)، صفحه ۴۸-۳۷
- [6] فاتحی ح، مرادیان ع، احمدی پور ح، "ژئوشیمی، سنگ نگاری و خاستگاه زمین ساختی سنگ‌های آتشفشنانی انومن دره زارچوئیه (جنوب شرق بردسیر)"، مجله بلور شناسی و کانی شناسی ایران (۱۳۹۱)، صفحه ۵۲۲-۵۱۵
- [7] آقانباتی ع، "زمین شناسی ایران"، سازمان زمین شناسی و اکتشافات معدنی کشور. ۵۸۶ صفحه. ۱۳۸۳
- [8] Dimitrijevic M. D., Srdic A., Dimitrijevic M. N., "Geological map of Iran 1:100000 series Sheet 7348-Baft.", Geological survey of Iran. 1959.
- [9] درویش زاده ع، "زمین شناسی ایران"، انتشارات دانش امروز، ۹۰۰ صفحه، ۱۳۷۰
- [10] معین وزیری ح، "دیباچه‌ای بر ماقماییسم در ایران"، انتشارات دانشگاه تربیت معلم تهران، ۴۴۰ صفحه، ۱۳۷۵
- [11] Eichelberger J. C., "Andesitic volcanism and crustal evolution. In: Izbekov. P.E., Eichelberger. J.C., Patino. L.C., Vogel. T.A., Iranov. B.V., 2002. Calcic cores of plagioclase phenocrysts in andesite from Karymsky volcano", Evidence for rapid introduction by basaltic replenishment. Geological society of America. v. 30; no. 9; p. 799-802
- [12] Davidson J., Tepley F., III Palacz Z., Meffan-Main S., "Magma recharge, contamination and residence times revealed by in situ laser ablation isotopic analysis of feldspar in volcanic rocks. In: Izbekov, P.E., Eichelberger, J.C., Patino, L.C., Vogel, T.A., Iranov, B.V., 2002. Calcic cores of Plagioclase phenocrysts in andesite from Karymsky volcano", Evidence for rapid introduction by basaltic replenishment. Geological society of America. v. 30; no. 9; p. 799-802.
- [13] Singer B. S., Dungan M. A., Layne G. D., "Textures and Sr, Ba, Mg, Fe, K and Ti compositional profiles in volcanic plagioclase: Clues to the dynamics of calc-alkaline magma chambers. In: Izbekov. P.E., Eichelberger. J.C., Patino. L.C., Vogel. T.A., Iranov. B.V., 2002. Calcic cores of plagioclase phenocrysts in andesite from Karymsky volcano", Evidence for rapid

و مقدار K_2O آنها پایین تا متوسط است [۴۶]. در جدول ۲ مقایسه‌ای میان سرنشی‌های انواع سنگ‌های آتشفشنانی وابسته به محیط‌های کوهزایی جزایر قوسی و حاشیه‌ی فعال قاره‌ای با سنگ‌های شمال شرق بافت و سنگ‌های آتشفشنانی شمال بیرونی، آتشفشنانه‌ای تفتان و آندزیت‌های شمال غرب ایران برای شناخت تفاوت‌های کلی میان آن‌ها صورت گرفته است.

برداشت

بنابر شواهد متعدد به دست آمده، معلوم شد که گدازه‌های منطقه‌ی شمال شرق شهرستان بافت و شمال غرب شهرستان رابر محصول جدایش ماقماهایی هستند که در آغاز از ذوب بخشی یک گوشه‌ی دگنهاد در بخش بالای منطقه‌ی فرورانشی ایجاد شده‌اند. گوشه‌ی خاستگاه رشته‌های سنگی منطقه به احتمال زیاد یک گوشه‌ی غنی‌شده بوده است. الگوی نمودارهای عنکبوتی نشانگر غنی‌شدگی این سنگ‌ها از عنصر LREE و تهی‌شدگی از عنصر HFS است. این الگو شاخص کمان‌های ماقمایی ناشی از فرورانش است. ژئوشیمی سنگ‌های آندزیتی و آندزیت-بازالتی در منطقه که طیف غالب واحدهای سنگی را به خود اختصاص داده است بیانگر شرایط تشکیل سنگ‌های مورد بررسی در یک جایگاه کمان آتشفشنانی وابسته به حاشیه قاره‌ای فعال و حاکی از فوران این گدازه‌ها در یک کمان ماقمایی نابلغ است. ماقماهای مورد نظر حین صعود، در بخش‌هایی از پوسته توقف داشته و در اتاق ماقمایی ضمن تبلور کانی‌های آمفیبول و پلازیوکلاز پیوسته مورد هجوم ماقماهای اولیه و اصیل‌تر قرار گرفته‌اند. تبلور جدایشی و آلدگی پوسته‌ای در ترکیب شیمیایی این سنگ‌ها قابل ملاحظه است.

مراجع

- [1] Berberian F., "Petrogenesis of Iranian plutons: a study of the Natanz and Bazeman intrusive Complex", Ph.D Thesis. University of Cambridge, (1981) 300pp.
- [2] Jung D., Kursten M.O., Turkian M., "Post-Mesozoic volcanism in Iran and its relation to the subduction of the Afro- Arabian under the Eurasian plate. Impilger & Rosler (Eds), After between continental and oceanic rifting.PP. 182-190. International symposium on the Afra Region and Related Rift problems", Bad Bergzaben, (1975) Vol.2.
- [3] Dimitrijevic M. D., "Geology of Kerman Region", Geol. Sur. Iran, Yu. No.52 (1973).

- [23] Wood D. A., "The application of a Th-Hf-Ta diagram to problems of tectonomagmatic classification and to establishing the nature of crustal contamination of basaltic lavas of the British Tertiary Volcanic Province", *Earth and Planetary Science Letters*. 50 (1980) 11-30.
- [24] Pearce J. A., Cann J. R., "Tectonic setting of basic volcanic rocks determined using trace element analyses". *Earth and Planetary Science Letters*. 19 (1973) 290-300.
- [25] Pearce J.A., "Role of the sub-continental lithosphere in magma genesis at active continental margins", In Hawkes worth C.J. and Norry, M.J., shiva, Nantwich, (1983) 230-249.
- [26] Sun S.S., McDonough W.F., "Chemical and isotopic systematics of oceanic basalts, implications for mantle composition and processes", In: A.D., Saunders, and A.M., Norry, (eds.), magmatism in ocean basins, Geol. Soc. London. Spec; (1989).Pub, 42, 313 – 345.
- [27] Pearce J.A., Harris N. B. W., Tindle A.G., "Trace element discrimination diagrams for the tectonic interpretation of granitic rocks". *Jour. Petrol*, 25, 956 – 983; (1984).
- [28] Pearce J. A., Norry M. J., "Petrogenetic implications of Ti, Zr, Y and Nb variations in volcanic rock. Contributions to Mineralogy and Petrology.", Vol 69 (1979), Pp 33-47.
- [29] Sommer C.A., Lima E.F., Nardi L.V.S., Liz J.D., Waichel. B.L., "The evolution of Neoproterozoic magmatism in Southernmost Brazil: shoshonitic, high- K tholeiitic and silica-saturated, sodic alkaline volcanism in post collisional basins". *Anais da Academic Brasileira de Ciencias* 78, 573-589; (2006).
- [۳۰] شهریاری ش., قربانی م., نصیری بزنجانی ر., "ژئوشیمی و سنگ شناسی سنگ های آتشفشنانی شمال شرق نراق: مانگماتیسم جزایر قوسی یا حواشی فعال قاره‌ای؟", مجله بلورشناسی و کانی شناسی ایران (۱۳۹۰) ص. ۲۵۱-۲۶۲
- [31] Shahabpour J., "Island - arc affinity of the Central Iranian Volcanic Belt", *Journal of Asian Earth Sciences*. 30,(2007) 652-665.
- [32] Chaffey D. J., Cliff R. A., Wilson B. M., "Characterization of the st. Helena magma source", In: Temel. A., Gundogdu, A. Gourgaud. M.N., 1998. Petrological and geochemical characteristics of Cenozoic high-K calc-alkaline volcanism in Konya, Central Anatolia, Turkey. *Journal of Volcanology and Geothermal Research*. 85 (1989) 327-354.
- introduction by basaltic replenishment. *Geological society of America*. v. 30; no. 9; p. 799-802.
- [14] Pearce J. A., "A user's guide to basalt discrimination diagrams. In: Woman, D. A., (ed), *Trace element geochemistry of volcanic rocks: Application for massive sulphide exploration*", Geol. Assoc. Canada, short course notes. 12. 70-113.
- [15] Peccerillo A., Taylor S. R., "Geochemistry of Eocene Calc-alkaline volcanic rocks from the Kastamoun area", northern Turkey. *Contr. Mineralogy and Petrology*. 58 (1976) 63-81.
- [16] Temel A., Gundogdu M.N., Gourgaud A., "Petrological and geochemical characteristics of Cenozoic high-K calc-alkaline volcanism in Konya", Central Anatolia, Turkey. *Journal of Volcanology and Geothermal Research*. 85, 327-354.
- [17] Sun S. -s., Mc Donough W. F., "Chemical and isotopic systematic of oceanic basalts: implications for mantle composition and processes. In: Schmidt. M.E. & Grunder. A.L., 2011. Deep Mafic Roots to Arc Volcanoes: Mafic Recharge and Differentiation of Basaltic Andesite at North Sister Volcano, Oregon Cascades", *Journal of Petrology*. v. 0; n.0, (1989) 1-39.
- [18] Wood D. A., "The application of a Th-Hf-Ta diagram to problems of tectonomagmatic Classification and to establishing the nature of crustal contamination of basaltic lavas of the British Tertiary Volcanic Province", *Earth and Planetary Science Letters*. 50 (1980) 11-30.
- [19] Nicholson K. N., Black P. M., Hoskin P. W. O., Smith I. E. M., "Silicic volcanism and back-arc extension related to migration of the Late Cainozoic Australian-Pacific plate boundary. In: Asiabahna. A., Ghasemi. H. and Meshkin. M., 2009. Paleogene continental-arc type volcanism in NorthQazvin, North Iran", facies analysis and geochemistry. Schweizerbartsche Verlagsbuchhandlung. v. 186/2; (2004) p. 201-214.
- [20] Barley M.E., Brown S.J.A., Krapez B., Kositcin N., "Physical Volcanology and geochemistry of a late Archaean volcanic arc: Kurnalpi and Gindalbie Terranes, Eastern Goldfields Superterrane", Western Australia. *Precambrian Research*. 161 (2008) 53-76.
- [21] Muller D., Groves D. I., "Pottasic igneous and associated gold-copper mineralization. Springer-Verlag", (1997) 241p.
- [22] Perace J.A., "tectonic setting of basic volcanic rocks determined using trace element analysis". *Earth planet Sci. Lett.* 19 (1973) – 290-300

- مجله بلورشناسی و کانی شناسی ایران (۱۳۸۸)، ص ۲۰۲-۱۸۷
- [۳۹] کمالی ا., عامری ع., پیروج ه., جهانگیری ا., "ژئوشیمی و سنگ‌شناسی تراکی‌آندزیت‌های منطقه اردکا، شمال بزرگ‌شاهر، شمال غرب ایران"، مجله بلورشناسی و کانی شناسی ایران (۱۳۹۰)، ص ۳۲۴-۳۱۱.
- [40] Hawkesworth C.J., Turner S., Peate D., McDermott F., Calsteren P.van., "Elemental U and Th variations in island arc rocks: implications for U-series isotopes", *Chemical Geology* 139 (1997) 207-221.
- [41] Shahabpour J., "Island-arc affinity of the Central Iranian Volcanic Belt", *Journal of Asian Earth Sciences* 30 (2007) 652-665.
- [42] Pearce, J. A. and Cann, J. R. "Tectonic Setting of basic volcanic rocks determined using trace element analysis". *Earth and Planetary Science Letter* (1973), 19: 290-300.
- [43] Plank T., "Constraints from thorium/lanthanum on sediment recycling at subduction zones and the evolution of the continents", *Journal of Petrology* (2005), 4: 1-24.
- [44] Brown G.C., Thorpe R.S., Webb P.C., "The geochemical characteristics of granitoids in contrasting arcs and comments on magma sources", *Journal of Geological Society London* 141 (1984) 413-426.
- [45] Fernandez M., Ayala C., Skogseld J., Vergés J., Wheeler W., Karpuz R., "Crustal and lithospheric structure in the Zagros folds and thrust belt: a geological and geophysical approach", In: AAPG international conference & exhibition, Barcelona (2003).
- [46] Stern R.J., "Subduction zones", *Reviews of Geophysics* 40, 4 (2002) 1-38.

- [33] Edwards C., Menzies M., Thirlwall M., "Evidence from Muriah, Indonesia, for the interplay of supra-subduction zone and intraplate processes in the genesis of potassic alkaline magmas. In: Temel. A., Gundogdu, A. Gourgaud. M.N., 1998. Petrological and geochemical characteristics of Cenozoic high-K calc-alkaline volcanism in Konya, Central Anatolia, Turkey", *Journal of Volcanology and Geothermal Research*. 85 (1991) 327-354.
- [34] Pearce J. A., "Role of subcontinental lithosphere in magma genesis at active continental margins: in continental basalts and mantlexenoliths. In: Temel. A., Gundogdu, A. Gourgaud. M.N.", 1998. Petrological and geochemical characteristics of Cenozoic high-K calc-alkaline volcanism in Konya, Central Anatolia, Turkey. *Journal of Volcanology and Geothermal Research*. 85 (1991) 327-354
- [35] Brihue, et al?., "In: Temel. A., Gundogdu, A. Gourgaud. M.N., 1998. Petrological and geochemical characteristics of Cenozoic high-K calc-alkaline volcanism in Konya", Central Anatolia, Turkey. *Journal of Volcanology and Geothermal Research*. 85 (1991) 327-354.
- [36] Jakes P., White A. J. R., "Hornblandes from calc-alkaline volcanic rocks of island arcs and continental margins", *Am. Mineral.* 57(1972) 887 – 902.
- [۳۷] یوسف زاده م.ح., "پتروگرافی، ژئوشیمی و پتروزنر سنگ-های آتشفشاری ترشیر منطقه بیرجند-خوسف", رساله دکتری پetroلوژی، دانشگاه شهید بهشتی ایران (۱۳۸۶).
- [۳۸] بیابان‌گرد ح., مرادیان ع., "بررسی سنگ‌شناختی و ژئوشیمی کانی‌های اصلی سازنده سنگ‌های آتشفشاری تفتان"